

5. Заключение

Переход от обычной лоренц-инвариантной теории квантованных полей к финслерову обобщению предполагает использование следующих «рецептов»: волновое уравнение выводится из лагранжевой плотности $H^2(u_i)J(u_i)$; в импульсном пространстве интеграл $\int d^4k$ заменяется на инвариантный интеграл $\int J(k) d^4k$; δ -функция берется в виде $\delta(H^2(k) - m^2)$; финслерова функция Гамильтона H выбирается в специально-релятивистском виде (23)–(25); обычная связь между операторами $u^\pm(\mathbf{k}) = u^\pm(k)/\sqrt{2k_0}$ заменяется на связь (39)–(40); функции Паули–Йордана обобщаются «по ковариантности», т. е. согласно (34)–(35); используются коммутаторы вида (36)–(38); представление для импульса обобщается «по ковариантности», т. е. берется в виде (41)–(42).

Необходимо проводить последовательное и аккуратное различие между компонентами k_j и k^j четырехмерного волнового вектора; в частности $k_0 \neq k^0$ и $k_\alpha \neq -k^\alpha$ [10, 11].

Дальнейшее развитие настоящей работы предполагает построение финслеровой теории комплексно-

го скалярного поля, электромагнитного и спинорного полей, а также изучение свойств финслеровых функций Паули–Йордана.

Литература

1. Асанов Г.С. // Вестн. Моск. ун-та. Физ. Астрон. 1994. № 1. С. 19 (Moscow University Phys. Bull. 1994. No. 1. P. 18).
2. Асанов Г.С. // Там же. 1994. № 2. С. 13 (Ibid. No. 2. P. 11).
3. Асанов Г.С. // Там же. 1995. № 4. С. 7 (Ibid. No. 4. P. 6).
4. Асанов Г.С. // Там же. 1996. № 1. С. 18 (Ibid. No. 1. P. 15).
5. Асанов Г.С. // Там же. 1996. № 2. С. 8 (Ibid. No. 2. P. 6).
6. Асанов Г.С. // Там же. 1996. № 3. С. 8 (Ibid. No. 3. P. 8).
7. Боголюбов Н.Н., Ширков Д.В. Введение в теорию квантованных полей. М., 1973.
8. Швебер С. Введение в релятивистскую теорию поля. М., 1963.
9. Рунд Х. Дифференциальная геометрия финслеровых пространств. М., 1981.
10. Asanov G.S. Finsler Geometry, Relativity and Gauge Theories. Dordrecht, 1985.
11. Asanov G.S. // Reports on Math. Phys. 1997. **39**. P. 69.

Поступила в редакцию
15.12.97

РАДИОФИЗИКА

УДК 621.385.6

ВЛИЯНИЕ ПОПЕРЕЧНОЙ НЕОДНОРОДНОСТИ СВЧ-ПОЛЯ НА РЕЖИМЫ МАЗЕРА НА АНОМАЛЬНОМ ЭФФЕКТЕ ДОПЛЕРА С ЛЕНТОЧНЫМ ПУЧКОМ

А. Ф. Александров, В. А. Кубарев, А. В. Михайлов

(кафедра физической электроники)

Исследовано влияние поперечной неоднородности СВЧ-поля на взаимодействие электронов с излучением в мазере на циклотронном резонансе с планарной замедляющей системой и ленточным пучком в условиях аномального эффекта Доплера. Изучены режимы усиления в зависимости от ведущего магнитного поля.

Мазер на циклотронном резонансе, работающий в условиях аномального эффекта Доплера (МЦР АД), представляет собой одну из перспективных разновидностей мазеров на свободных электронах, не требующих предварительной закрутки пучка и отличающихся простотой конструкции. В работе [1] показана возможность достижения высокого КПД МЦР АД-усилителя с попутной волной и генератора со встречной волной. Однако в этой работе не учитывалась поперечная неоднородность СВЧ-поля (использовалось квазиплоское приближение [2]). При экспериментальном исследовании МЦР АД с диэлектрической замедляющей системой коаксиальной конструкции [3] достигнутый КПД был невысок (около 1%). Подобное исследование МЦР АД-генера-

тора [4] коаксиальной структуры с гофрированным стержнем и трубчатым пучком показало, что он может быть источником мощных СВЧ-колебаний. Для получения генерации использовался принцип самовозбуждения колебаний вблизи π -вида границы полосы прозрачности. Мощность генерации составляла 10–50 МВт при ускоряющем напряжении 500 кВ, токах 2–3 кА и длительности импульсов 200 нс и имела максимум при $V \approx 11$ кГц.

Таким образом, имеется значительный разрыв между экспериментально достигнутыми уровнями КПД МЦР АД и теоретическими оценками. Это указывает на излишнюю идеализацию использованных моделей, в частности на недостаточный учет конечности ларморовских радиусов электронов и неодно-

родности СВЧ-поля. Этим вопросам в работе уделено особое внимание.

Далее будем рассматривать МЦР АД с планарной диэлектрической замедляющей системой и ленточным пучком. Первоначально прямолинейный пучок, распространяющийся в ведущем магнитном поле \mathbf{B}_z , взаимодействует с замедленной волной H_{01} (отличные от нуля компоненты E_y, H_x, H_z) в условиях аномального доплеровского синхронизма: $\omega - k_z u_z = -\omega_B/\gamma$.

1. Уравнения в дрейфовом приближении

Будем предполагать, что на входе в волновод ($z = 0$) релятивистский электронный пучок (РЭП) моноскоростной и прямолинейный ($p_z = p_0$; $p = p_\perp = 0$). Пространственным зарядом пучка пренебрегаем. Следуя дрейфовому приближению, ищем поперечные координаты электронов (x, y) в виде суммы координат ведущего центра (X, Y) и добавки, связанной с вращением по ларморовской спирали нормированного радиуса $R = \frac{\omega}{c} r_L \sqrt{n^2 - 1} = \frac{p}{\mu} \sqrt{n^2 - 1}$:

$$\begin{aligned} x &= X + R \cos \psi, & y &= Y + R \sin \psi; \\ \psi &= \int \frac{\mu}{p_z} d\xi + \varphi, \end{aligned} \quad (1)$$

где ψ и φ — быстрая и медленная фазы циклотронного вращения, а X, Y — безразмерные координаты. Тогда движение электронов в ведущем магнитном поле $B\{0, 0, B_z\}$ и СВЧ-волне описывается уравнениями

$$\begin{aligned} \dot{p} &= -\alpha \left(\frac{\gamma}{p_z} - n \right) \cos \theta \operatorname{ch} X [2I'_1(R)], \\ \dot{p}_z &= n\dot{\gamma} = -\alpha n \frac{p}{p_z} \cos \theta \operatorname{ch} X [2I'_1(R)], \\ \dot{\theta} &= \frac{\gamma}{p_z} - n + \frac{\mu}{p_z} + \alpha \left(\frac{\gamma}{p_z} - n \right) \sin \theta \operatorname{ch} X \left[\frac{2I_1(R)}{R} \right], \\ \mu \dot{Y} &= -\alpha \frac{p}{p_z} \sqrt{n^2 - 1} \operatorname{sh} X \cos \theta [2I'_1(R)], \\ \mu \dot{X} &= \alpha \sqrt{n^2 - 1} \left(\frac{\gamma}{p_z} - n + \frac{\mu}{p_z} \right) \operatorname{sh} X \cos \theta [2I_1(R)], \end{aligned} \quad (2)$$

где дифференцирование производится по продольной координате $\xi = (\omega/c)z$; p_z, p — продольный и поперечный импульсы; $\alpha = eE/(\omega m_0 c)$ — параметр ускорения; $\mu = \omega_B/\omega$; $\omega_B = eB/(m_0 c)$; $n = kc/\omega$ — коэффициент замедления волны в структуре; $\theta = \omega t - kz + \psi$ — медленная фаза (относительно электромагнитной волны); $I(R)$ — модифицированная функция Бесселя, $I'_1 = dI_1/dR$.

Домножив и разделив последнее уравнение системы (2) на $\dot{\gamma}$, получаем уравнение для координаты ве-

дущего центра:

$$\dot{X} = -\frac{1}{\mu^2} \frac{\operatorname{sh} X}{\operatorname{ch} X} (\gamma - p_z n + \mu) (n^2 - 1) \frac{I_1(R)}{RI'_1(R)} \dot{\gamma},$$

откуда следует дрейфовый интеграл движения:

$$\ln \frac{\operatorname{sh} X}{\operatorname{sh} X_0} = -\frac{n^2 - 1}{\mu^2} \int_{\gamma_0}^{\gamma} \frac{I_1(R)}{RI'_1(R)} [\gamma - np_z + \mu] d\gamma.$$

Рассмотрим теперь возбуждение электродинамической структуры релятивистским электронным пучком. В одномодовом приближении поле в волноводе будем искать в виде $E = E_0(z) \Psi^*(r_\perp) \cdot e^{i(\omega t - kz)}$, где Ψ^* — мембранная функция, удовлетворяющая уравнению Гельмгольца

$$\Delta_\perp \Psi^* + \left[\frac{\epsilon \omega^2}{c^2} - k^2 \right] \Psi^* = 0.$$

Подставив это выражение в волновое уравнение, выполнив усреднение по быстрой фазе циклотронного вращения и разделив амплитуду и фазу волны ($E_0 = |E_0| e^{i\varphi}$), получим следующее уравнение возбуждения:

$$\frac{d\alpha}{d\xi} = I \frac{p}{p_z} \operatorname{ch} X [2I'_1(R)] \cos(\bar{\theta}), \quad (3)$$

где $I = \frac{\omega_p^2 \beta_0}{4\omega^2 n N}$ — параметр тока, $\omega_p^2 = \frac{4\pi e^2 n_0}{m_0}$; N — норма волны; $\bar{\theta} = \theta + \Phi$.

С учетом самосогласованного изменения фазы волны $\left(\frac{d\Phi}{d\xi} = -\frac{I}{\alpha} \frac{p}{p_z} \operatorname{ch} X [2I'_1(R)] \sin(\bar{\theta}) \right)$ система уравнений движения вместе с уравнением возбуждения имеет вид

$$\begin{aligned} \dot{p} &= -\alpha \left(\frac{\gamma}{p_z} - n \right) \cos \theta \operatorname{ch} X [2I'_1(R)], \\ \dot{p}_z &= n\dot{\gamma} = -\alpha n \frac{p}{p_z} \cos \theta \operatorname{ch} X [2I'_1(R)], \\ \dot{\theta} &= \frac{\gamma}{p_z} - n + \frac{\mu}{p_z} + \alpha \left(\frac{\gamma}{p_z} - n \right) \sin \theta \operatorname{ch} X \left[\frac{2I_1(R)}{R} \right] - \\ &\quad - \frac{I}{\alpha} \frac{p}{p_z} \sin \theta \operatorname{ch} X [2I'_1(R)], \\ \mu \dot{Y} &= -\alpha \frac{p}{p_z} \sqrt{n^2 - 1} \operatorname{sh} X \cos \theta [2I'_1(R)], \\ \mu \dot{X} &= \alpha \sqrt{n^2 - 1} \left(\frac{\gamma}{p_z} - n + \frac{\mu}{p_z} \right) \operatorname{sh} X \cos \theta [2I_1(R)], \\ \dot{\alpha} &= I \frac{p}{p_z} \operatorname{ch} X [2I'_1(R)] \cos \theta, \end{aligned} \quad (4)$$

где вместо $\bar{\theta}$ оставлено обозначение θ .

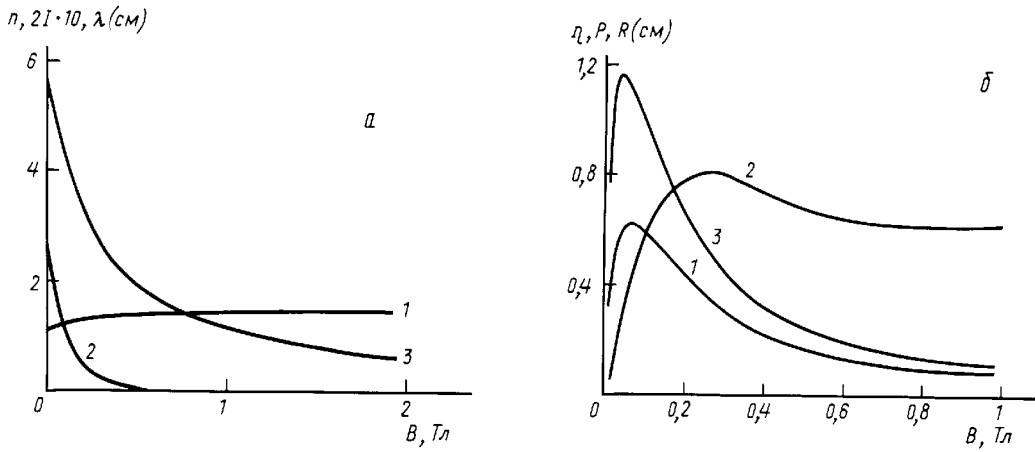


Рис. 1. Зависимость величин n (1), $2I \cdot 10$ (2), λ (3) в точке синхронизма (а) и величин максимального кпд η (1), поперечного импульса P (2), максимального ларморовского радиуса R (см) (б) от ведущего магнитного поля ($\epsilon = 2,25$; линейная плотность тока $J = 1$ кА/см; $\mathcal{E} = 1$ МэВ; полуширина волновода $D = 1,7$ см; полуширина вакуумного канала $d = 0,3$ см)

При изменении ведущего магнитного поля B изменяются значения $(\omega; k)$ в точке синхронизма на дисперсионной характеристике. На основании полученных при расчете дисперсионной характеристики значений ω, k можно найти зависимости $\lambda(B)$ и безразмерные $n(B), I(B)$ (рис. 1,а).

2. Теория МЦР АД в квазиплоском приближении

В квазиплоском приближении, когда ларморовский радиус много меньше масштаба поперечной неоднородности ВЧ-поля [2], неоднородностью можно пренебречь, т. е. положить $R = 0, X = 0$. В указанном приближении получим уравнения

$$\begin{aligned} \frac{dp}{d\xi} &= -\alpha \left(\frac{\gamma}{p_z} - n \right) \cos \theta, \\ \frac{d\gamma}{d\xi} &= -\alpha \frac{p}{p_z} \cos \theta = \frac{1}{n} \frac{dp_z}{d\xi}, \\ \frac{d\theta}{d\xi} &= \frac{\gamma}{p_z} - n + \frac{\mu}{p_z} + \frac{\alpha}{pp_z} (\gamma - np_z) \sin \theta - \frac{Ip}{\alpha p_z} \sin \theta, \\ \frac{d\alpha}{d\xi} &= I \frac{p}{p_z} \cos \theta. \end{aligned} \quad (5)$$

Граничные условия в случае первоначально прямолинейного пучка зададим в виде $p = 0, p_z = p_0 = (\gamma_0 - 1)^{1/2}, \gamma = \gamma_0, \xi = 0, \alpha = \alpha_0$. Система уравнений с учетом граничных условий имеет следующие интегралы:

$$\begin{aligned} 1^\circ. \quad \gamma - \frac{p}{p_z} &= \gamma_0 - \frac{p_0}{n}, \\ 2^\circ. \quad \alpha^2 - \alpha_0^2 &= 2I(\gamma_0 - \gamma), \\ 3^\circ. \quad \alpha p \sin \theta &= \delta(\gamma_0 - \gamma) + \nu \frac{(\gamma_0 - \gamma)^2}{2}, \end{aligned}$$

где $\delta = \gamma_0 - p_0 n + \mu; \nu = (n^2 - 1); \delta$ — начальная расстройка синхронизма; ν — коэффициент неизотропности.

Используя интегралы движения $2^\circ, 3^\circ$ и соотношения $\gamma = \gamma_0 - \eta(\gamma_0 - 1); p^2 = \gamma^2 - 1 - p_z^2$, исходную систему уравнений можно свести к одному уравнению для кпд взаимодействия η :

$$\begin{aligned} \frac{d\eta}{d\xi} &= \frac{1}{p_0 - n(\gamma_0 - 1)\eta} \times \\ &\times \{ [\alpha_0^2 + 2I(\gamma_0 - 1)\eta](n^2 - 1)\eta(\eta - \eta) - \\ &- \eta^2(\delta + \nu(\gamma_0 - 1)\eta/2)^2 \}^{1/2}, \end{aligned} \quad (6)$$

где $\eta_l = \frac{2\gamma_0 n(n\beta_0 - 1)}{(\gamma_0 - 1)(n^2 - 1)}$ — предельный кпд. Из этого уравнения нетрудно получить инкремент экспоненциального усиления на линейной стадии ($\alpha_0^2 \rightarrow 0, \eta \ll \eta_l \leq 1$):

$$\begin{aligned} \Gamma &= \frac{1}{p_0} (\Gamma_0^2 - \delta^2)^{1/2}, \\ \left(\frac{d\eta}{d\xi} = \Gamma \eta; \quad \Gamma_0^2 &= 2I(\gamma_0 - 1)(n^2 - 1)\eta \right). \end{aligned}$$

Из равенства нулю правой части уравнения (6) получается зависимость максимального кпд от начальной расстройки синхронизма.

В случае точного синхронизма ($\delta = 0$) проследим изменение кпд, максимального поперечного импульса P и максимального ларморовского радиуса R в зависимости от величины ведущего магнитного поля. Эти зависимости представлены на рис. 1,б. Видно, что максимум кпд имеет место при малых значениях ларморовского радиуса, превышающим полуширину вакуумного зазора, что соответствует оседанию пучка на поверхность диэлектрика. С ростом магнитного поля ларморовский радиус убывает и оседание может прекратиться. Однако кпд при этом уменьшается из-за ослабления связи пучка со структурой при росте коэффициента замедления волны (см. рис. 1,а).

3. Особенности взаимодействия в приближении слабой неоднородности

Рассмотрим особенности аномального эффекта Доплера в приближении слабой неоднородности поля ($R \leq 1$). Уравнения и метод расчета кпд системы аналогичны тем, которые приводились выше. В указанном приближении представим функции Бесселя разложениями

$$\begin{aligned} 2I_1'(R) &\approx 1 + \frac{3R^2}{8}, \\ \frac{2I_1(R)}{R} &\approx 1 + \frac{R^2}{8}, \\ \frac{I_1(R)}{RI_1'(R)} &\approx \left(1 - \frac{3R^2}{8}\right) \left(1 + \frac{R^2}{8}\right). \end{aligned} \quad (7)$$

При этом правую часть третьего интеграла движения (3°)

$$\alpha p \operatorname{ch} X \sin \theta = - \int_{\gamma_0}^{\gamma} \frac{(\gamma - p_z n + \mu)}{2I_1'(R)} d\gamma$$

можно вычислить аналитически в виде полинома и записать уравнение для кпд в виде

$$\begin{aligned} \frac{d\eta}{d\xi} = &\left(1 + \frac{3}{8}R^2\right) \left[\frac{1}{p_0 - n(\gamma_0 - 1)\eta} \times \right. \\ &\times \left\{ \alpha_0^2 + 2I(\gamma_0 - 1)\eta \left(n^2 - 1 \right) \eta (\eta - \eta) (\gamma_0 - 1) \operatorname{ch}^2 X - \right. \\ &\left. \left. - (\alpha p \sin \theta \operatorname{ch} X)^2 \right\}^{1/2} \right], \end{aligned} \quad (8)$$

где $R^2 = \frac{(n^2 - 1)^2}{\mu^2} (\gamma_0 - 1)^2 (\eta - \eta)$.

Максимум кпд соответствует равенству нулю правой части (8), где выражение $(\alpha p \operatorname{ch} X \cdot \sin \theta)$ представляет собой полином четвертого порядка по η . Отсюда можно получить зависимость максимального кпд от расстройки $\eta(\delta)$; отметим, что в ряде режимов аргумент функции Бесселя не мал и использованное разложение некорректно, поэтому соответствующие значения необходимо рассматривать как качественные. При высоких кпд учет поперечной неоднородности поля необходим, а ее влияние существенно зависит от режима работы МЦР АД. При этом ввести какой-либо аналитический критерий для определения области применимости квазиплоского приближения оказывается затруднительным.

Получим инкремент экспоненциального усиления на линейной стадии ($\alpha_0^2 \rightarrow 0, \eta \ll \eta_i \leq 1$):

$$\Gamma = \frac{1}{p_0} (\Gamma_0^2 - \delta^2)^{1/2}; \quad \Gamma_0^2 = 2I(\gamma_0 - 1)(n^2 - 1)\eta_i \operatorname{ch}^2 X.$$

Видно, что при увеличении координаты ведущего центра X инкремент растет, что связано с возрастанием связи пучка со структурой при приближении к ней.

4. Режимы МЦР АД с пучком конечной толщины

На основании численного решения системы уравнений (4) проследим поведение траекторий электронов, кпд, коэффициента усиления по длине системы (длина волновода 100 см) в зависимости от величины ведущего магнитного поля и начальной мощности волны H_{01} . Максимальные значения кпд усилителя η соответствуют слабым ведущим полям, в которых, однако, обнаружено оседание электронов на поверхность диэлектрика в волноводе из-за большого ларморовского радиуса, что на практике, естественно, недопустимо.

Поэтому кпд системы в области магнитных полей, где оседание прекратится, оказывается существенно меньше максимального. Для тонкого пучка ($X_0(t = 0) = 0$), линейная плотность тока $J = 1$ кА/см, $\mathcal{E} = 1$ МэВ) и выбранных геометрических размеров $D = 1,7$ см, $d = 0,3$ см получены зависимости η (кривая 1), G (кривая 2), представленные на рис. 2, а. Слева от вертикальной прямой находится область, соответствующая оседанию. Фиксируя величину поля, при которой нет оседания ($B = 0,41$ Тл), и изменяя входную мощность волны ($P_{in} = 0 \div 100$ кВт/см), определим реально возможный кпд. Максимум кривой $\eta(P_{in}) = 12\%$, изображенной на рис. 2, б, соответствует $P_{in} = 55$ кВт/см, при этом длина усиливаемой волны λ равна 2,2 см.

Пучок конечной толщины (полуширина $a = 0,15$ см) моделировался конечным числом крупных частиц, равномерно распределенных по начальным координатам ведущих центров. При этом из-за поперечной неоднородности связи пучка со структурой в процессе взаимодействия происходит «расслоение» пучка.

Рассматривались режимы усиления для различных геометрических размеров системы и энергий электронов.

Уменьшение длины волны возможно при уменьшении толщины диэлектрика. Обнаружено, что с уменьшением длины волны достижимые значения коэффициента усиления и кпд уменьшаются до 10% и ниже.

При увеличении энергии электронов до $\mathcal{E} = 1,5$ МэВ при $D = 0,6$ см, $d = 0,3$ см, $\lambda = 0,8$ см (кривая 3 и кривая 4 на рис. 2) происходит сдвиг границы оседания в область больших магнитных полей ($B = 0,6$ Тл), а максимальный кпд сохраняется на том же уровне при увеличении входной мощности ($\eta = 12\%, P_{in} = 70$ кВт/см).

Увеличение ширины вакуумного зазора приводит к ослаблению связи пучка со структурой и падению усиления и кпд при той же входной мощности. Однако увеличение P_{in} до 290 кВт/см приводит к $\eta = 12\%$.

Отметим, что в указанных случаях уменьшение ширины вакуумного зазора приводило лишь к сдвигу границы оседания при том же кпд.

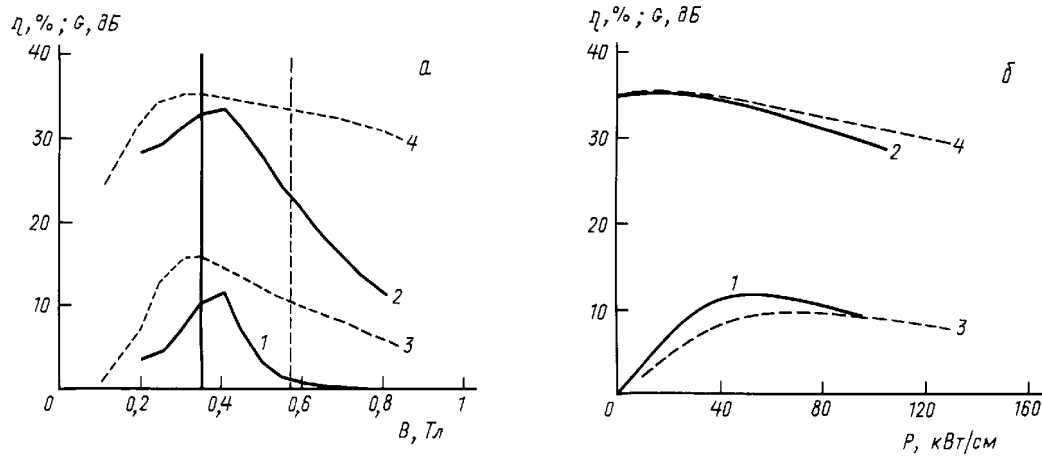


Рис. 2. Зависимости кпд η и коэффициента усиления G от магнитного поля (а) и от входной мощности (б): η (1), G (2) (тонкий пучок; $G = 10 \lg(P_{\text{out}}/P_{\text{in}})$, где P_{out} — выходная мощность излучения; $D = 1,7$ см; $d = 0,3$ см; для рис. 2,а $P = 50$ кВт/см); η (3), G (4) (пучок с полушириной $a = 0,15$ см и $D = 0,6$ см, $d = 0,3$ см, $\mathcal{E} = 1,5$ МэВ)

Таким образом, при оптимизации параметров МЦР на аномальном эффекте Доплера необходимо учитывать конечность ларморовских радиусов электронов и поперечную неоднородность СВЧ-поля.

Литература

1. Гинзбург Н.С. // Изв. вузов, Радиофизика. 1979. 22, № 4. С. 470.

2. Жураховский В.А. // Радиотехн. и электроника. 1984. 29, № 5. С. 956.
3. Диденко А.Н., Борисов А.Р., Фоменко Г.П. и др. // Письма в ЖТФ. 1983. 9, № 21. С. 1331.
4. Галузо С.Ю., Канавец В.И., Слепков А.И., Плетюшкин В.А. // ЖТФ. 1982. 52, № 8. С. 1681.

Поступила в редакцию
27.06.97